



IRANIAN SOCIETY of  
CRYSTALLOGRAPHY  
and MINERALOGY

Vol. 17, No. 3, Fall 1388/2009

IRANIAN JOURNAL of  
CRYSTALLOGRAPHY  
and MINERALOGY

## Mineral chemistry of garnets in the Kaleybar alkaline igneous intrusion, NW Iran

N. Ashrafi<sup>1\*</sup>, A. Ameri<sup>1</sup>, A. Jahangiri<sup>1</sup>, N. Hasebe<sup>2</sup>, G. N. Eby<sup>3</sup>

1- Dept. of Geology, Faculty of Natural Sciences, University of Tabriz, Iran

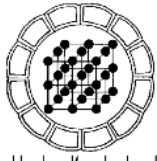
2- Institute of Nature and Environmental Technology, Kanazawa University, Japan

3- Dept. of Environmental, Earth, & Atmospheric Sciences, University of Massachusetts, Lowell, USA

(Received: 18/10/2008, in revised form: 14/3/2009)

**Abstract:** The Kaleybar alkaline igneous intrusion contains fine- to coarse-grained, anhedral to euhedral brown garnets. Most of the garnets are zoned. Generally, they occur in foid-bearing leucocratic rocks and the phenocrysts typically have analcime inclusions. According to mineral chemistry, the garnets of Kaleybar are Ti-andradites and melanites. The chemical zoning is characterized by a decrease in mole percent grossular, almandine, and spessartine and an increase in andradite from core to rim. On the basis of the present data, it can be concluded that the garnets in the Kaleybar intrusion are in the primary igneous phase that formed during the late magmatic stage and Ti-Si exchange in the tetrahedral site is the main substitution.

**Keywords:** igneous garnet, mineral chemistry, foid syenite, Kaleybar.



## شیمی گارنت‌های توده آذربایجان غرب ایران

ناصر اشرفی<sup>۱\*</sup>، علی عامری<sup>۱</sup>، احمد جهانگیری<sup>۱</sup>، نوریکو هسیب<sup>۲</sup>، نلسون ایبی<sup>۳</sup>

۱- گروه زمین شناسی، دانشکده علوم طبیعی، دانشگاه تبریز

۲- انتیتیو فناوری زیست محیطی و طبیعی، دانشگاه کاتانازاوا، ژاپن

۳- دپارتمان علوم زیست محیطی، زمین و جو، دانشگاه ماساچوست آول، آمریکا

(دریافت مقاله: ۸۷/۷/۲۷، نسخه نهایی: ۸۷/۱۲/۲۴)

**چکیده:** گارنت‌های توده آذربایجان غرب ایران به صورت ریز بلور تا درشت بلور، بی‌شکل تا شکل دار، با منطقه‌بندی مشخص و گاه بدون منطقه‌بندی، همسانگرد و گاه با حاشیه ناهمسانگرد مشاهده می‌شوند. این گارنت‌ها غالباً در نمونه‌های به رنگ روشن فوئیدار دیده شده و عموماً آنالسیم به عنوان مهمترین کانی مهمان در انواع درشت بلور حضور دارد. بر اساس شیمی کانی‌ها، گارنت‌های کلیبر را می‌توان Ti-آندرادیت و ملانیت نامید؛ منطقه‌بندی شیمیایی قابل توجه در آن‌ها بدین صورت است که عموماً از هسته به حاشیه، کاهش درصد مولی گروسولار، آلماندین و اسپرساتین و افزایش درصد مولی آندرادیت وجود دارد. بر اساس داده‌های موجود، به نظر می‌رسد که [عل]-های گارنت‌های توده کلیبر به صورت فاز آذربایجان اولیه و در مراحل آخر تبلور ماقمایی تشکیل شده و جانشینی Ti-Si در نماهای چهار وجهی مهمترین جانشینی برای گارنت‌های مورد بررسی باشد.

**واژه‌های کلیدی:** گارنت آذربایجان، شیمی کانی، فوئید سینیت، کلیبر.

گارنت‌های غنی از Ti در گستره گسترده‌ای از دما و فشار تشکیل می‌شوند از این رو می‌توان آن‌ها را در طیف گسترده‌ای از پاراژنزا (به صورت آذربایجان اولیه، دویتیریک و گرمابی تا دگرگونی درجه پایین و حتی دمای بالا) مشاهده کرد. در سنگ‌های قلیایی بیشتر گارنت‌های غنی از Ti به صورت بین دانه‌ای یا دانه‌های بی‌شکل در زمینه یافته می‌شوند و به نظر می‌رسد بازتابی از واکنش‌های پیچیده مراحل پایانی (دگرنهادی) کانی‌های مافیک تشکیل شده اولیه با شاره‌های مراحل آخر باشند [۳]. برخی از پژوهشگران تشکیل گارنت‌های با منطقه‌بندی خیلی مشخص را به طور کلی به عنوان نتیجه فرایندهای پسین ماقمایی (post magmatic) در نظر گرفته‌اند [۴]. توده آذربایجان غرب ایران نفلین‌سینیت نفلین‌دار دارای گارنت‌های قهوه‌ای تیره تا سیاه رنگی است که بر اساس

**مقدمه**  
گارنت آذربایجان بیشتر در پیگماتیت‌ها و دایک‌های آپلیتی یافت می‌شود. با این وجود، چنین گارنت‌هایی از برخی گرانیتوئیدهای پرآلومینوس فلزیک تا خیلی فلزیک ( $\text{SiO}_2 \geq 70\%$ ) نیز گزارش شده است [۱، ۲]. کمیابی گارنت‌های تیتانیومدار، رخدادهای غیرمعمول آنها و در برداشت کاتیونی که عموماً در گارنت‌های دیگر حضور ندارد؛ منجر به بررسی شیمی کانی، الگوهای منطقه‌بندی، شرایط پایداری کانی و نحوه جانشینی Ti، Al و  $\text{Fe}^{3+}$  در ساختار بلوری آن‌ها شده است. گارنت‌های غنی از Ti در طیف گسترده‌ای از سنگ‌های آذربایجان قلیایی شامل نفلین‌سینیت‌ها، آنکارامیت‌ها، ایژولیت-ملتیئیت‌ها، فنولیت‌ها، تراکیت‌ها، سینیت‌ها، لامپروفیرها و کربناتیت‌ها یافت می‌شوند [۳]. بنا بر بررسی‌های انجام شده،

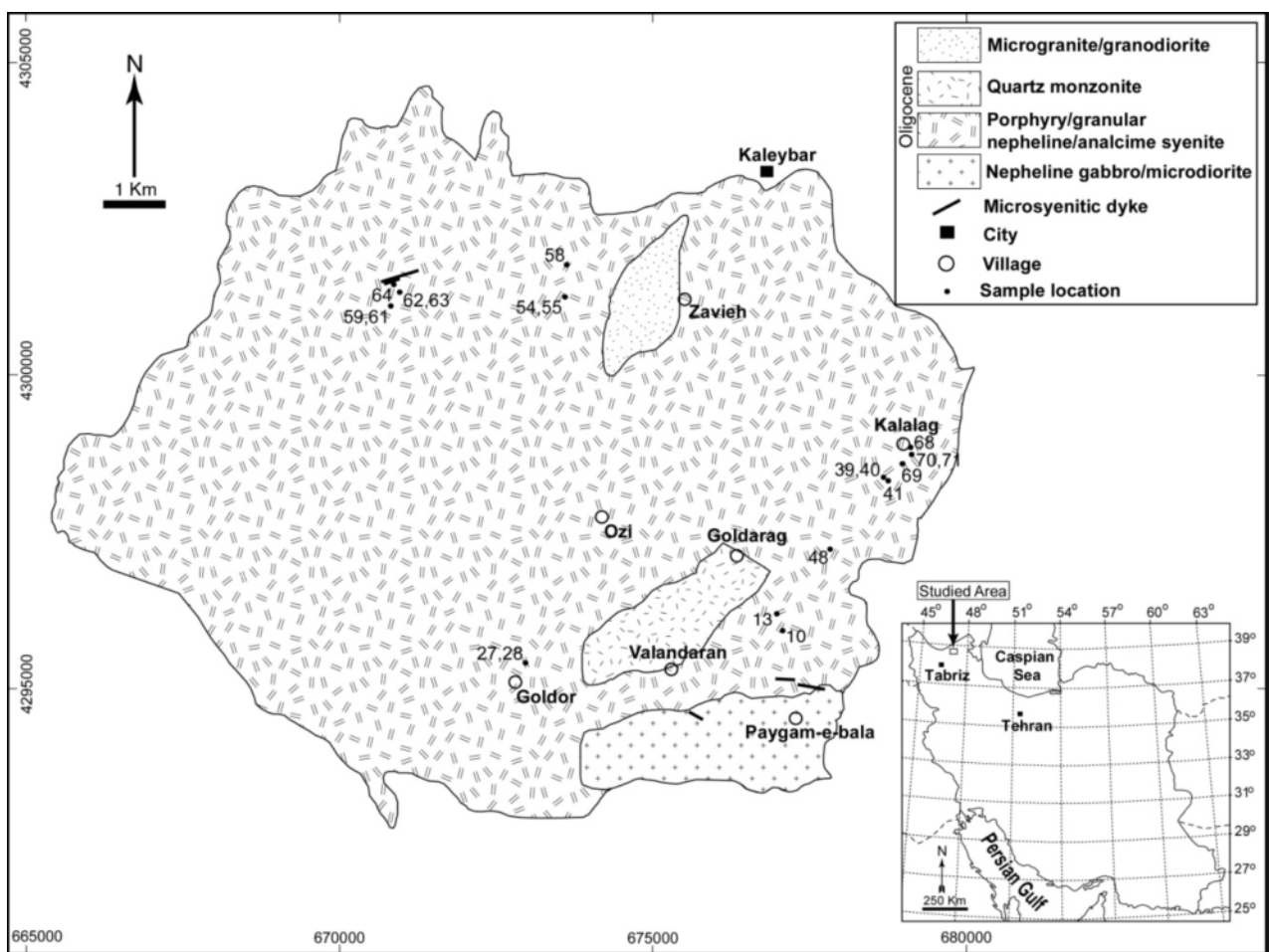
\* نویسنده مسئول، تلفن: ۰۴۱۱ (۲۳۰۰۶۹۱)، نامبر: ۶۲۶۶۹۹۹، پست الکترونیکی: nasser.ashrafi@gmail.com

هستند. دایک‌ها و رگه‌های وابسته به این توده غالباً دارای ترکیب نفلین سینیت و سینیت هستند. بافت سنگ‌های سینیتی پورفیروئید ولی بافت سنگ‌های بازیک اغلب دانه‌ای است. برخوردگاه این توده در شمال و غرب با شیست و ماسه سنگ‌های کرتاسه فوقانی و در بخش جنوبی با آتش‌شانی‌های کرتاسه بالا مجاور است و دگرگونی مجاورتری جالب توجهی دور تا دور توده را فرا گرفته است به نحوی که سنگ‌های مجاور به کوارتزیت، مرمر و هورنفلس‌های بیوتیت-آلبیت‌دار تبدیل شده‌اند. علی رغم برخوردگاه توده نفلین سینیتی کلییر با آهک‌های کرتاسه، اسکارن‌های با ارزش اقتصادی ایجاد نشده است و تنها آثاری از ملاکیت همراه با ایلمنیت و کانسنگ‌های آهن به چشم می‌خورد [۵].

ویژگی‌های میکروسکوپی جزء گارنت‌های غنی از Ti محسوب می‌شوند. این مقاله علاوه بر شیمی گارنت‌های کلیبر، به ویژگی‌های بافتی و کانی‌شناسی میکروسکوپی آن‌ها نیز می‌پردازد.

زمین‌شناسی

توده آذرین قلیایی کلیبر در نزدیکی شهرستان کلیبر قرار دارد و از طریق جاده تبریز-اهر-کلیبر می‌توان به آن دسترسی پیدا کرد. توده آذرین قلیایی نیمه آتش‌شانی تا درونی کلیبر از تنوع سنگی نسبت به توده‌های فوئید سینیتی الیگوسن دیگر در شمال غرب ایران (توده‌های بزقوش و رزگاه) برخوردار است (شکل ۱). در این توده بر اساس رده‌بندی مدبی به ترتیب فراوانی، سینیت نفلینی دار، مونزوینیت کوارتزدار، دیوریت/گابرو نفلینی دار، مونزوینیت و کلینوپیروسینیت قابل شناسایی



شکل ۱ نقشه زمین‌شناسی توده آذرین کلیبر، اقتباس شده و ساده شده از نقشه‌های ۱:۱۰۰۰۰۰ کلیبر و ورزقان که در آن موقعیت نمونه‌های گارنت‌دار مشخص شده است.

توده کلیبر ارائه شده است. در این توده بنابر بررسی‌های سنگ شناختی، گارنت به طور کلی در سنگ‌های فوئیددار (شامل نفلین و یا آنالسیم) مشاهده می‌شود. در نمونه‌های جدا شده (به رنگ روشن) بویژه دایکها (D<sub>28</sub>, D<sub>59</sub>) گاه تا ۱۰ درصد حجمی سنگ می‌رسد که در این موارد بهتر است سنگ، گارنت فوئید سینیت نامیده شود (شکل ۲). بنا بر رده‌بندی‌های مدبی و شیمیایی ترکیب سنگی نمونه‌های گارنتدار مورد بررسی، به ترتیب عبارتند از سینیت نفلین و یا آنالسیم‌دار و نفلین‌سینیت. بنابر بررسی‌های میکروسکوپی، این گارنت‌ها ویژگی‌های نوع ملانیت (تیتانیوم آندرادیت) را نشان می‌دهند؛ منطقه‌بندی نوری در گارنت‌های درشت مشخص‌تر بوده بدین صورت که در حالت بدون آنالیزور، زون‌های به رنگ قهوه‌ای روشن و تیره قابل رویت هستند (شکل ۳a). در نمونه‌های مورد بررسی، گارنت‌ها به صورت کاملاً شکل‌دار تا بی‌شکل، دندربیتی (شکل ۳b) و گاه رگچه مانند یافت می‌شوند. که معمولاً همسانگرد بوده؛ گرچه گاهی در برخی نمونه‌ها (B<sub>27</sub>) در بخش حاشیه‌ای ویژگی ناهمسانگردی نشان می‌دهند (شکل ۳c). اندازه گارنت‌ها گاه تا ۱/۵ سانتی متر نیز می‌رسد؛ بلورهای درشت اغلب دارای نفوذیهای آنالسیم و قلیایی فلدسپار هستند، با این وجود گاهی نفوذی‌هایی از هورنبلند و تیتانیت (اسفن) نیز در آنها یافت می‌شوند.

### روش بررسی

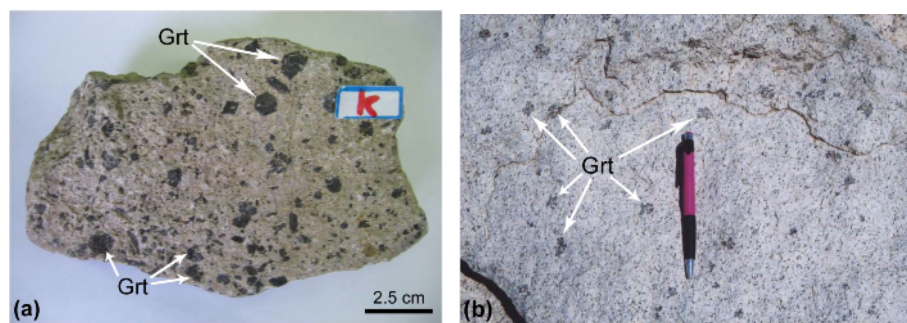
در این بررسی نمونه‌های سنگی از بخش‌های مختلف توده کلیبر برداشت شدند، سپس مقاطع نازک آماده شده از آن‌ها با میکروسکوپ قطبشی مورد بررسی قرار گرفته و نمونه‌های گارنت‌دار مشخص شدند. بخشی از تجزیه‌های نقطه‌ای در مرکز تحقیقات فرآوری مواد معدنی ایران - که در نمودارها با علامت مربع و در جدول تجزیه‌ها با پسوند IR مشخص شده‌اند - با ریزکاونده الکترونی Cameca، مدل SX100(WDS) با ولتاژ شتابدهنده ۱۵kV و شدت جریان ۱۵nA؛ و بخشی دیگر با ریزکاونده الکترونی JEOL، مدل JXA-8800R با ولتاژ شتابدهنده 20kV و شدت جریان 20nA در دانشگاه کانازارا ژاپن - که با علامت دایره در نمودارها و با پسوند JP در جدول آنالیزها مشخص شده‌اند - صورت گرفت. نتایج آنالیزها در نرم افزارهای Minpet 2.02 و Excel مورد بررسی قرار گرفته و مقادیر آهن ۲ و ۳ به روش [۶] محاسبه شدند.

### سنگ شناختی

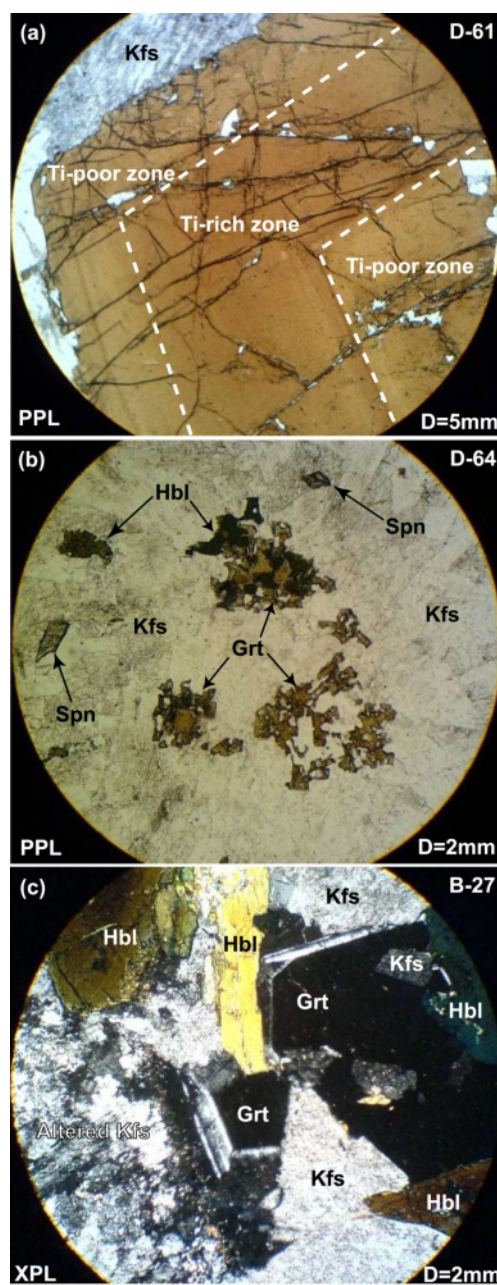
در توده آذرین قلیایی کلیبر، بر خلاف توده‌های آذرین قلیایی دیگر شمال غرب ایران (بیوتیت نفلین سینیت بزقوش و سودولوستیت سینیت رزگاه)، کانی گارنت به عنوان مهمترین کانی عارضه‌ای یا فرعی حضور دارد. در جدول (۱) مشخصات جغرافیایی و سنگ‌شناختی نمونه‌های گارنت‌دار مورد بررسی از

جدول ۱ موقعیت جغرافیایی و ویژگی‌های سنگ‌نگاری نمونه‌های گارنت‌دار مورد بررسی از توده نفوذی کلیبر. CG: درشت دانه؛ FG: ریز دانه؛ MG: میان دانه؛ PFG: پورفیری با زمینه دانه‌ای ریزدانه. علائم اختصاری کانی‌ها از [۱۷] می‌باشد (به استثنای Opq: کانی‌های کدر).

نمونه	کانی‌های تشکیل دهنده	بافت	ارتفاع (متر)	مختصات جغرافیایی (UTM)
۱۰B	Kfs+Ne+Pl+Cpx+Hbl+Sdl+Anl+Grt+Bt+Opq+Ap	PFG	۱۷۸۴	۴۲۹۵۹۲۲۶۷۷۰۸۱S۳۸
۱۲B	Kfs+Sdl+Anl+Ne+Grt+Bt+Hbl+Pl+Ccn+Opq+Spn+Ap+Zrn	MG	۱۷۷۵	۴۲۹۶۱۸۶۶۷۶۹۸۶S۳۸
۲۷B	Kfs+Hbl+Pl±Ne+Cpx+Anl+Grt+Bt+Opq+Spn+Ap	MG	۲۰۱۳	۴۲۹۵۴۰۹۶۷۲۹۵۵S۳۸
۲۸D	Kfs+Grt±Ne+Hbl+Bt+Pl+Opq+Zrn+Ap+Spn	PFG		
۳۹D	Kfs+Pl+Cpx+Opq+Bt±Grt+Ap+Zrn	PFG	۱۲۵۳	۴۲۹۸۳۶۷۶۷۸۶۸۹S۳۸
۴۰D	Kfs+Pl+Cpx+Bt+Grt+Opq+Spn+Ap	PFG		
۴۱B	Kfs+Pl+Ne+Cpx+Hbl+Bt+Grt+Anl+Opq+Spn+Ap	MG	۱۲۴۴	۴۲۹۸۲۳۱۷۶۷۸۷۷۰S۳۸
۴۸B	Kfs±Ne+Pl+Cpx+Bt+Opq+Spn+Ap+Grt+Zr	PFG	۱۴۴۴	۴۲۹۷۷۱۳۶۷۷۸۷۷S۳۸
۵۴B	Kfs+Pl+Hbl+Ne+Grt+Bt+Anl+Cpx+Opq+Spn+Ap	CG		
۵۵D	Kfs+Ne+Grt+Spn+Hbl+Bt+Pl+Opq+Ap+Zrn	CG	۱۶۶۳	۴۳۰۱۲۵۲۶۷۳۵۹۵S۳۸
۵۸B	Kfs+Pl+Hbl±Ne+Grt+Cpx±Anl+Opq+Bt+Spn+Ap	MG		
۵۹D	Kfs+Grt+Pl+Hbl±Cpx±Anl±Ne+Opq+Spn+Ap+Zrn	MG	۲۱۱۵	۴۳۰۱۱۰۲۶۷۰۸۲۲S۳۸
۶۱D	Kfs+Ne+Grt+Ntr+Hbl+Pl+Opq	MG		
۶۲B	Kfs+Ne+Pl+Grt+Hbl+Opq+Spn+Ap+Zrn	CG	۲۱۰۰	۴۳۰۱۳۲۷۶۷۰۹۵۷S۳۸
۶۲B	Kfs+Pl+Ne+Hbl+Grt+Bt±Anl+Cpx+Opq+Spn+Ap+Zrn	MG		
۶۴D	Kfs+Pl+Hbl+Grt+Ne+Cpx+Anl+Sdl+Spn+Opq+Bt+Ap	FG	۲۰۸۸	۴۳۰۱۴۴۰۶۷۰۸۶۸S۳۸



شکل ۲ گارنت (مالانیت) (a) به صورت شکل دار؛ و (b) به صورت لکه ای در نمونه های ماکروسکوپی از توده آذرین کلیبر.



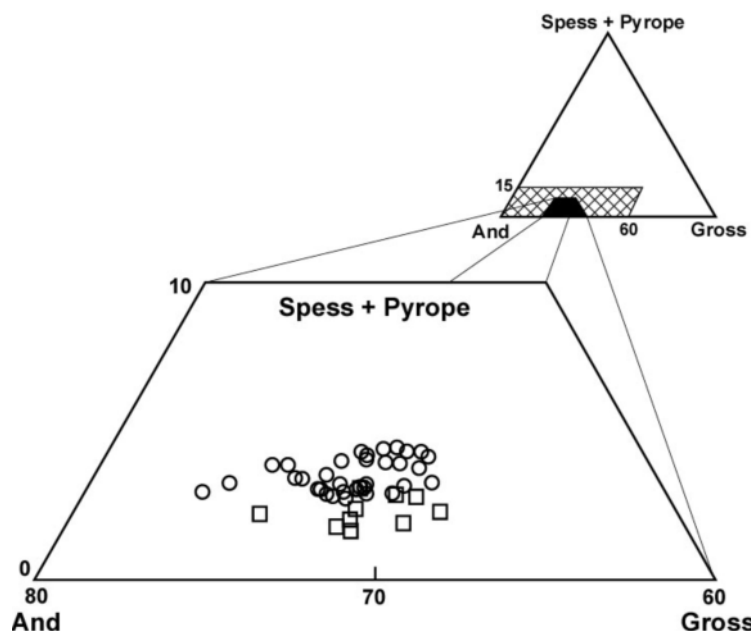
شکل ۳ تصاویر میکروسکوپی از کانی گارنت (مالانیت) در نمونه های توده آذرین کلیبر؛ (a) گارنت شکل دار درشت با منطقه بندی شیمیایی؛ (b) گارنت بی شکل (دندریتی)؛ (c) گارنت با حاشیه ناهمسانگرد همراه با فلدسپار قلیایی دگرسان شده و هورنبلند.

(۰/۱۸)، پیروپ (کمتر از ۱/۳۲) و اواروویت (کمتر از ۰/۴۸) است.

منطقه‌بندی گارناتهای کلیبر غالباً به دو صورت مشاهده می‌شوند: ۱) با منطقه بندی ساده، دارای بخش مرکزی تیره و بخش حاشیه‌ای روشن؛ ۲) با منطقه بندی پیچیده (نوسانی)، که از مرکز به حاشیه زون‌های اصلی به صورت بخش‌های تیره (۱)، روشن (۲)، تیره (۳)، و روشن (۴) قابل مشاهده‌اند. در گارناتهای با منطقه بندی ساده، بخش مرکزی (هسته) غنی از Ti و Mn و به سمت حاشیه این عناصر نسبتاً تهی می‌شوند (شکل ۵). همچنین در این نوع گارنتهای از مرکز به حاشیه درصد مولی اعضای نهایی چون آلماندین، گروسولار و اسپسارتین کاهش و آندرادیت نسبتاً افزایش نشان می‌دهد. گرچه تغییرات در میزان پیروپ قابل ملاحظه نیست با این وجود یک روند کاهشی نیز برای آن قابل تصور است. در گارناتهای با منطقه‌بندی نوسانی در برخی عناصر مانند Ti و TSi (سیلیسیم چهار وجهی) از هسته به حاشیه روندهای کاهشی به صورت کلی مشاهده می‌شود (شکل ۶). با این وجود، در عناصر دیگر مانند Ca، Mg و Fe تغییرات نوسانی قابل ملاحظه است.

### شیمی کانی

چنانکه در نمودار (شکل ۴) مشاهده می‌شود گارناتهای مورد بررسی بر پایه درصد مولی اعضای نهایی در گستره گارناتهای غنی از تیتانیوم قرار می‌گیرند. تشخیص گارناتهای غنی از سری گراسولار-آندرادیت (ملانیت، اواروویت، شورلومیت و آندرادیت غنی از Ti) از یکدیگر با خاطر عدم وجود توافق در موقعیت و والنس Fe و Ti در نماهای بلوری آنها مشکل و بحث انگیز بوده است [۷]. طبق [۷] گارنت با درصد وزنی  $TiO_2$  بین ۱۵-۳، ملانیت، کمتر از ۳-۱۵ آندرادیت، و بیش از ۱۵، شورلومیت در نظر گرفته شده است. بر این اساس، ترکیب گارناتهای مورد بررسی از  $Ti-TiO_2$ -آندرادیت تا ملانیت در تغییر است (جدول‌های ۲، ۳، ۴)؛ بدین صورت که بخش‌های مرکزی با به بیان بهتر زون‌های با رنگ تیره در گارناتهای کلیبر با  $TiO_2$  معمولاً بین ۳-۵ را بر این اساس می‌توان ملانیت نامید. با این وجود، [۸] گارنتهای تا ۱ واحد فرمولی Ti در ۲۴ اکسیژن را ملانیت نامیده‌اند. بر اساس نتایج تجزیه‌های انجام شده، اعضای نهایی گارناتهای کلیبر به ترتیب فراوانی درصد مولی آن‌ها شامل آندرادیت (۴۰-۷۲/۰۴)، گروسولار (۰۳-۳۰/۹۵)، آلماندین (۱۳/۷۶-۵/۱)، اسپسارتین (۰۳-۲/۹۲)



شکل ۴ ترکیب گارناتهای مورد بررسی در نمودار گستره گارناتهای غنی از Ti با هاشور مشخص شده است [۱۷].

**جدول ۳ نتایج تجزیه ریز گمانه‌ای از حاشیه و مرکز گارنٹ دارای منطقه‌بندی کلیبر.**

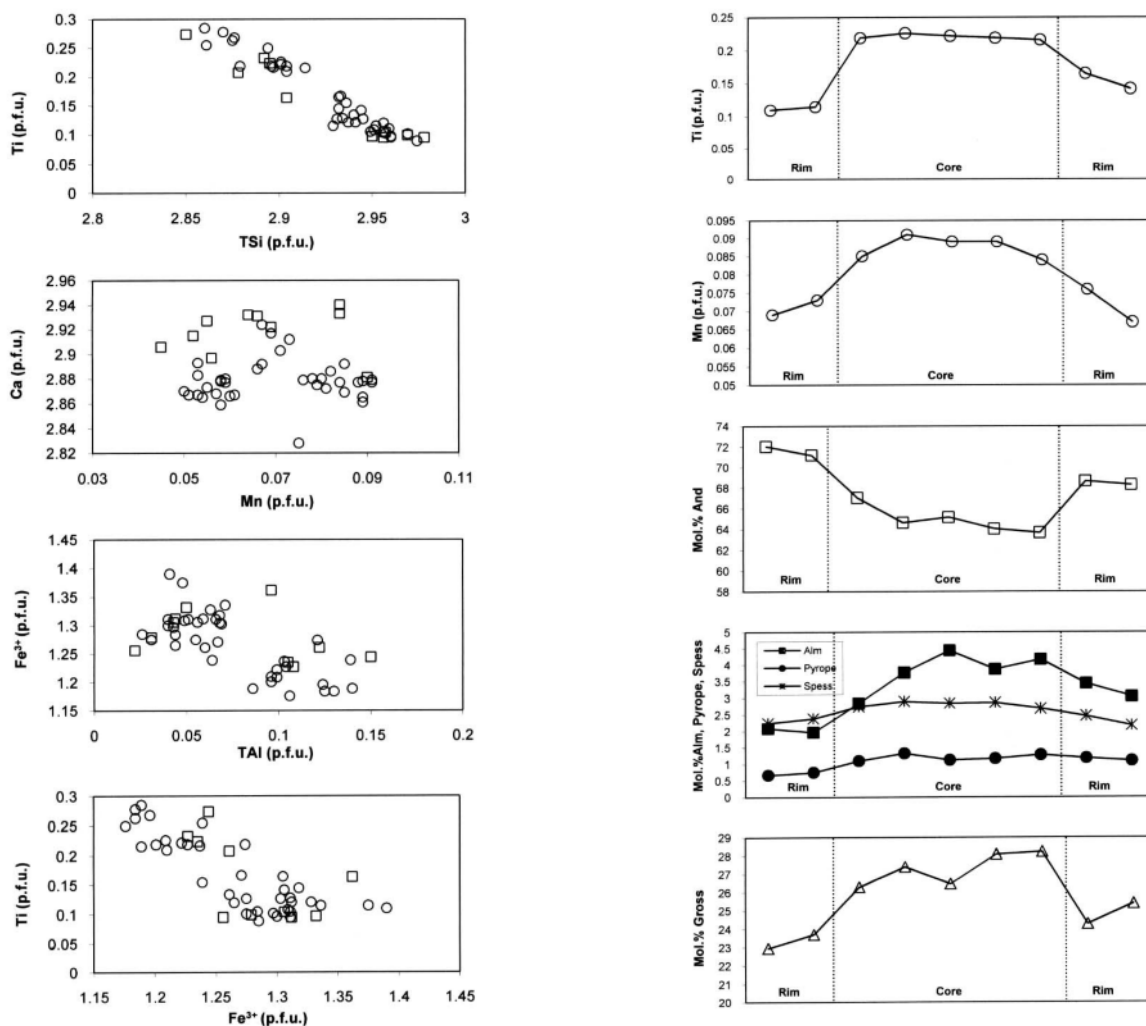
	Rim	Core	Rim
Sample ۱-jp-۶۲۲-jp-۶۳۳-jp-۶۳۴-jp-۶۳۵-jp-۶۲۶-jp-۶۳۷-jp-۶۳۸-jp-۶۳۹-jp-۶۲			
SiO <sub>2</sub>	۳۶,۳۵	۳۶,۲۱	۳۵,۲۵
TiO <sub>2</sub>	۱,۷۹	۱,۸۸	۲,۵۶
Al <sub>2</sub> O <sub>3</sub>	۴,۹۱	۵,۰۹	۵,۰۵
FeO	۲۱,۳۶	۲۱,۰	۱۹,۹۴
MnO	۱,۰۰	۱,۰۶	۱,۲۳
MgO	۰,۱۷	۰,۱۹	۰,۲۸
CaO	۳۲,۴۴	۳۲,۲۴	۳۲,۰۵
Na <sub>2</sub> O	۰,۱۰	۰,۱۰	۰,۱۰
Total	۹۹,۱۲	۹۸,۹۲	۹۸,۹۱
کاتیون در واحد فرمولی بر اساس اکسیژن			
Si	۲,۹۶	۲,۹۵	۲,۸۸
Ti	۰,۱۱	۰,۱۲	۰,۲۲
<sup>IV</sup> Al	۰,۰۴	۰,۰۵	۰,۱۲
<sup>VI</sup> Al	۰,۴۳	۰,۴۴	۰,۴۱
Fe <sup>2+</sup>	۰,۰۶	۰,۰۶	۰,۰۹
Fe <sup>3+</sup>	۱,۳۹	۱,۳۸	۱,۳۷
Mn	۰,۰۷	۰,۰۷	۰,۰۹
Mg	۰,۰۲	۰,۰۲	۰,۰۳
Ca	۲,۹۲	۲,۹۱	۲,۸۹
Total	۸,۰۰	۸,۰۰	۸,۰۰
درصد مولی اعضای نهایی			
Alm	۲,۰۸	۱,۹۷	۲,۸۴
And	۷۲,۰۴	۷۱,۱۰	۶۷,۰۳
Gross	۲۲,۹۶	۲۳,۰۷	۲۶,۲۹
Pyrope	۰,۶۷	۰,۷۵	۱,۱۰
Spess	۲,۲۵	۲,۳۹	۲,۷۵

**جدول ۲ نتایج تجزیه ریز گمانه‌ای از حاشیه گارنٹ کلیبر.**

Sample	۱-ir-۵۸	۲-ir-۵۸	۳-ir-۵۸	۴-ir-۵۸	۵-ir-۵۸	۱-jp-۵۸	۲-jp-۵۸	۳-jp-۵۸	۴-jp-۵۸	۵-jp-۵۸
SiO <sub>2</sub>	۳۵,۷۷	۳۵,۹	۳۵,۸۳	۳۶,۰۲	۳۶,۰۵	۳۶,۲۴	۳۶,۳۰	۳۶,۳۴	۳۶,۵۷	۳۵,۸۱
TiO <sub>2</sub>	۱,۶۷	۱,۵۷	۱,۵۳	۱,۵۳	۱,۶۰	۲,۵۴	۲,۱۱	۲,۰۹	۱,۹۷	۲,۰۷
Al <sub>2</sub> O <sub>3</sub>	۵,۸۶	۵,۸۹	۵,۹۴	۶,۱۱	۶,۰۰	۶,۰۶	۵,۹۱	۶,۰۶	۶,۱۰	۶,۰۰
Cr <sub>2</sub> O <sub>3</sub>	n.d.	۰,۰۶	۰,۰۴	n.d.	۰,۰۲	n.d.	n.d.	n.d.	n.d.	n.d.
FeO	n.a.	n.a.	n.a.	n.a.	n.a.	۲۰,۱۰	۲۰,۹۰	۲۰,۴۸	۲۰,۲۰	۲۰,۰۵
Fe <sub>2</sub> O <sub>3</sub>	۲۲,۷۸	۲۲,۸۶	۲۲,۸۰	۲۱,۴۴	۲۲,۰۵	n.a.	n.a.	n.a.	n.a.	n.a.
MnO	۰,۶۵	۰,۷۴	۰,۸۰	۰,۹۵	۰,۷۹	۰,۸۴	۰,۸۱	۰,۸۳	۰,۷۸	۰,۸۶
MgO	n.d.	n.d.	n.d.	n.d.	n.d.	۰,۲۸	۰,۲۸	۰,۳۰	۰,۲۶	۰,۲۸
CaO	۳۲,۸۱	۳۳,۱۲	۳۲,۶۰	۳۳,۰۹	۳۳,۱۸	۳۳,۱۶	۳۳,۱۸	۳۳,۰۳	۳۳,۴۰	۳۲,۶۸
Na <sub>2</sub> O	n.d.	n.d.	n.d.	n.d.	n.d.	۰,۰۷	۰,۰۸	۰,۰۵	۰,۰۶	۰,۰۵
Total	۹۹,۵۴	۱۰۰,۱۴	۹۹,۱۵	۹۹,۱۳	۹۹,۶۹	۹۹,۲۹	۹۹,۰۷	۹۹,۱۸	۹۹,۳۴	۹۸,۲۵
کاتیون در واحد فرمولی بر اساس اکسیژن										
Si	۲,۹۶	۲,۹۵	۲,۹۶	۲,۹۷	۲,۹۴	۲,۹۳	۲,۹۵	۲,۹۶	۲,۹۳	۲,۹۳
Ti	۰,۱۰	۰,۱۰	۰,۱۰	۰,۱۰	۰,۱۰	۰,۱۶	۰,۱۳	۰,۱۲	۰,۱۳	۰,۱۳
<sup>IV</sup> Al	۰,۰۴	۰,۰۵	۰,۱۲	۰,۱۰	۰,۱۰	۰,۰۲	۰,۰۳	۰,۰۶	۰,۰۴	۰,۰۷
<sup>VI</sup> Al	۰,۵۳	۰,۴۴	۰,۴۱	۰,۴۴	۰,۴۳	۰,۴۶	۰,۴۳	۰,۴۶	۰,۵۱	۰,۵۱
Fe <sup>2+</sup>	۰,۰۶	۰,۰۶	۰,۱۲	۰,۱۴	۰,۱۲	۰,۱۳	۰,۱۱	۰,۰۹	۰,۱۰	۰,۱۰
Fe <sup>3+</sup>	۱,۳۹	۱,۳۸	۱,۳۷	۱,۳۱	۱,۲۲	۱,۲۰	۱,۱۹	۱,۳۱	۱,۳۱	۱,۳۰
Mn	۰,۰۷	۰,۰۷	۰,۰۹	۰,۰۹	۰,۰۹	۰,۰۸	۰,۰۸	۰,۰۷	۰,۰۷	۰,۰۷
Mg	۰,۰۲	۰,۰۲	۰,۰۳	۰,۰۴	۰,۰۴	۰,۰۴	۰,۰۴	۰,۰۳	۰,۰۳	۰,۰۳
Ca	۲,۹۲	۲,۹۱	۲,۸۹	۲,۸۸	۲,۸۶	۲,۸۸	۲,۸۸	۲,۸۸	۲,۸۷	۲,۸۷
Total	۸,۰۰	۸,۰۰	۸,۰۰	۸,۰۰	۸,۰۰	۸,۰۰	۸,۰۰	۸,۰۰	۸,۰۰	۸,۰۰
درصد مولی اعضای نهایی										
Alm	۳,۶۴	۲,۶۷	۳,۲۵	۲,۵۳	۲,۸۳	۳,۹۷	۳,۳۱	۳,۶۸	۳,۲۶	۳,۲۹
And	۶۷,۳۹	۶۸,۲۳	۶۷,۳۹	۶۵,۲۸	۶۶,۲۷	۶۴,۹۵	۶۷,۷۳	۶۶,۲۱	۶۵,۸۳	۶۷,۱۶
Gross	۲۲,۴۸	۲۷,۲۲	۲۷,۲۶	۳۰,۰۳	۲۹,۰۳	۲۸,۱۳	۲۶,۰۵	۲۷,۰۹	۲۸,۱۶	۲۶,۴۹
Pyrope	۰,۰۰	۰,۰۰	۰,۰۰	۰,۰۰	۰,۰۰	۱,۰۹	۱,۱۰	۱,۱۸	۱,۰۲	۱,۱۲
Spess	۱,۴۸	۱,۶۹	۱,۸۵	۲,۱۶	۱,۸	۱,۸۵	۱,۸۱	۱,۸۵	۱,۷۴	۱,۹۵

**جدول ۴ نتایج تجزیه ریز گمانه معروف از هسته (مرکز) گارنٹ کلیبر.**

Sample	۱-ir-۶۳	۲-ir-۶۳	۳-ir-۶۳	۴-ir-۶۳	۵-ir-۶۳
SiO <sub>2</sub>	۳۴,۲۱	۳۴,۷۹	۳۴,۸۴	۳۴,۸۴	۳۴,۸
TiO <sub>2</sub>	۴,۳۸	۳,۵۸	۳,۳۵	۲,۶۲	۳,۷۲
Al <sub>2</sub> O <sub>3</sub>	۵,۱۴	۵,۲۴	۵,۸۰	۵,۰۹	۵,۲۵
Cr <sub>2</sub> O <sub>3</sub>	n.d.	۰,۰۲	۰,۰۲	n.d.	n.d.
Fe <sub>2</sub> O <sub>3</sub>	۲۲,۰۲	۲۱,۳۷	۲۱,۳۰	۲۲,۸۸	۲۲,۰۸
MnO	۰,۹۷	۱,۲۰	۱,۲۱	۰,۹۱	۱,۲۸
MgO	n.d.	n.d.	n.d.	n.d.	n.d.
CaO	۳۲,۷۳	۳۲,۹۰	۳۲,۷۲	۳۲,۸۴	۳۲,۳۶
Total	۹۹,۴۵	۹۹,۲۰	۹۹,۷۳	۹۹,۱۸	۹۹,۵۹
کاتیون در واحد فرمولی بر اساس اکسیژن					
Si	۲,۸۵	۲,۹۰	۲,۸۸	۲,۹۰	۲,۸۹
Ti	۰,۲۷	۰,۲۲	۰,۲۱	۰,۱۶	۰,۲۳
<sup>IV</sup> Al	۰,۱۵	۰,۱۱	۰,۱۲	۰,۱۰	۰,۱۱
<sup>VI</sup> Al	۰,۳۶	۰,۴۲	۰,۴۴	۰,۴۰	۰,۴۲
Fe <sup>2+</sup>	۰,۱۴	۰,۱۰	۰,۰۶	۰,۰۷	۰,۱۵
Fe <sup>3+</sup>	۱,۲۴	۱,۲۴	۱,۲۶	۱,۲۶	۱,۲۳
Mn	۰,۰۷	۰,۰۸	۰,۰۸	۰,۰۶	۰,۰۹
Mg	۰,۰۰	۰,۰۰	۰,۰۰	۰,۰۰	۰,۰۰
Ca	۲,۹۲	۲,۹۳	۲,۹۴	۲,۹۳	۲,۸۸
Total	۸,۰۰	۸,۰۰	۸,۰۰	۸,۰۰	۸,۰۰
درصد مولی اعضای نهایی					
Alm	۴,۳۶	۲,۳۲	۲,۰۳	۲,۳۹	۴,۹۴
And	۶۶,۴۱	۶۵,۷۲	۶۵,۹۴	۷۰,۵۷	۶۵,۴۵
Gross	۲۷,۰۴	۲۸,۲۰	۲۹,۲۱	۲۴,۹۶	۲۶,۷۲
Pyrope	۰,۰۰	۰,۰۰	۰,۰۰	۰,۰۰	۰,۰۰
Spess	۲,۱۹	۲,۷۰	۲,۷۴	۲,۰۹	۲,۸۹



شکل ۶ نمودارهای دوتایی برای بررسی برخی جانشینی‌های عنصری مهم در گارنت‌های کلیبر.

اختصاص Ti و Al به نماهای مربوطه وجود ندارد. بر اساس طیف Mossbaur [۱۱] جانشینی در نمای ترجیحی چهار وجهی در گارنت‌های نوع ملانیت را به صورت  $\text{Al} \geq \text{Fe}^{3+} > \text{Ti} > \text{Mn}$  در نظر گرفتند و پیشنهاد کردند که  $\text{Fe}^{2+}$  را روشن متداول برای حضور دارد. [۱۲] تبدال  $\text{Si}^{4+}-\text{Ti}^{4+}$  را روش متداول برای جانشینی Ti در ساختار گارنت در نظر گرفته‌اند. چنان‌که در نمودارهای (شکل ۷) مشاهده می‌شود همبستگی منفی شدید بین زوج عنصر Si-Ti با ضریب همبستگی  $-0.96$  وجود دارد. این همبستگی منفی می‌تواند بیانگر تبدال کاتیونی مورد اشاره [۱۲] باشد. ولی همبستگی‌های فرعی (مثل Fe-Al-Fe و Ti-Fe) ممکن است بیانگر زوج‌های جانشینی باشند و یا نباشند [۷]. همبستگی قابل توجهی بین Ca-Mn وجود ندارد بنابراین به

شکل ۵ الگوهای منطقه‌بندی شیمیایی برخی عناصر و اعضای نهایی گارنت‌ها در گارنت‌های با منطقه‌بندی ساده (نمونه B63) که از حاشیه به حاشیه ترسیم شده‌اند.

بنابر بررسی‌های پژوهشگران، تفاوت‌های رنگی در زون‌های ملانیت گارنت‌ها به مرکز Ti نسبت داده شده است. زون‌های تیره رنگ دارای غلظت بالای Ti و زون‌های روشن رنگ با مرکز پایین Ti مشخص می‌شوند [۷، ۹، ۱۰]. برای گارنت‌های منطقه‌بندی شده کلیبر نیز این ویژگی صادق است. در ارتباط با ماهیت و خاستگاه منطقه‌بندی شیمیایی در گارنت‌های ملانیت-شورلومیت که توسط پژوهشگران [۸، ۱۱، ۱۲] شناسایی شدند، عدم وجود توافق در این بررسی‌ها شاید بخاطر تنوع پارازیت‌های ملانیت-شورلومیت باشد [۱].

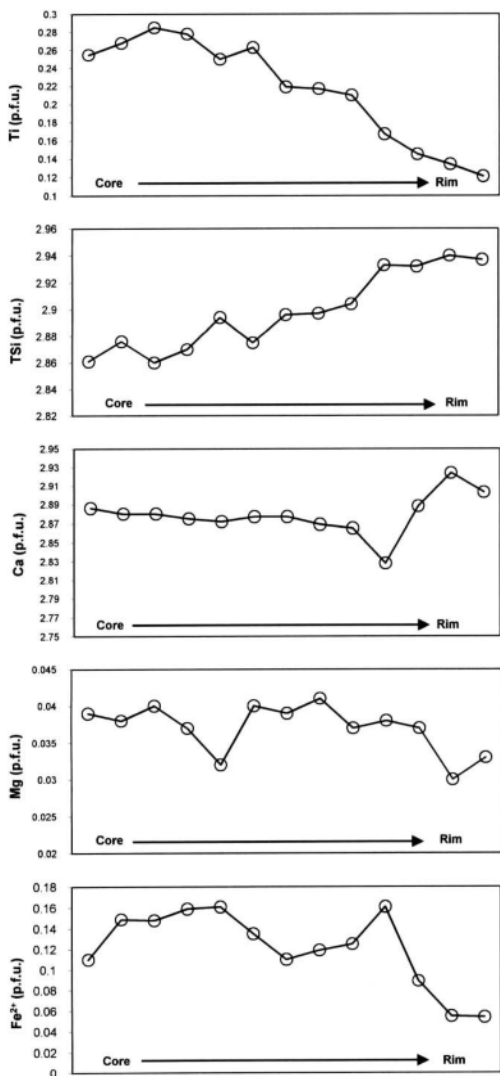
عنصر سنجی و تعیین محل کانیون‌ها در گارنت‌های نوع ملانیت به خاطر عدم قطعیت در والانس و موقعیت Ti و Fe در ساختار گارنت مشکل بوده و تقریباً روش استانداردی برای

برخی شباهت‌ها بین آنهاست (شکل ۸). گرچه از لحاظ میزان Mg، گارنتهای کلیبر غنی شدگی نسبی نشان می‌دهند. بر اساس شواهد میکروسکوپی، به نظر می‌رسد که شکل-های درختواری و رگچه‌ای نتیجه رشد بین دانه‌ای گارنتها در سنگ‌های کلیبر باشد. بلورهای درشت گارنت، که گاه به صورت لکه‌ای مشاهده می‌شوند (شکل ۲b)، در واقع گارنتهای با بافت غربالی هستند که سطوح بلوری مشخصی تشکیل نداده‌اند. در این حالت گاهی فلدسپارهای قلیایی با گارنتها حالت همرشدی نشان می‌دهند. با این وجود، به نظر می‌رسد بلورهای درشت گارنت در جاییکه بلورهای شکلدار آنالسیم از تمرکز بالایی برخودار بوده‌اند به صورت مناسبی رشد کرده و دارای سطوح بلوری مشخصی هستند (شکل ۲a).

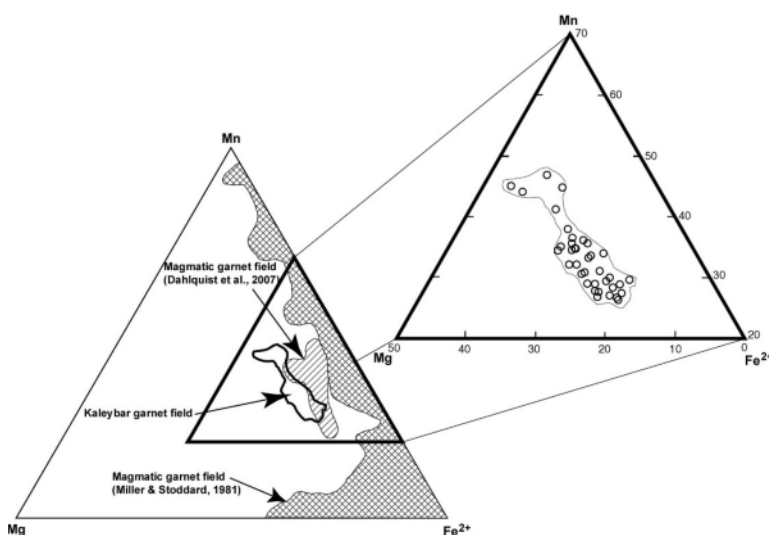
نظر می‌رسد که جانشینی آنها در گارنتهای مورد بررسی مهم نبوده است.

### بحث و بررسی

به عقیده [۱] گارنتهای غنی از Ti در سنگ‌های آذرین قلیایی اشبع بدون شک اولیه هستند. گارنتهای کلیبر قادر حاشیه واکنشی بوده و در سنگ‌هایی که یافت می‌شوند هیچ نوع برونوبلوم یا کانی دیرگذار باقیمانده‌ای در آن‌ها مشاهده نمی‌شود؛ این ویژگی‌ها نشان می‌دهد که حداقل فنوکریستهای شکلدار گارنت با منطقه‌بندی بسیار مشخص بوسیله فازهای آبگون اولیه تشکیل شده‌اند. مقایسه ترکیب گارنتهای مورد بررسی در منطقه کلیبر از لحاظ مقادیر Mn، Fe<sup>2+</sup> و Mg با گارنتهای ماگمایی از توده‌های گرانیتوئیدی [۲، ۱۵] حاکی از وجود



شکل ۷ الگوهای منطقه‌بندی شیمیایی برخی عنصر مهمن در گارنتهای با منطقه‌بندی نوسانی (نمونه B63) که از هسته به حاشیه ترسیم شده‌اند.



شکل ۸ ترکیب گارناتهای کلیپر در نمودار مثلثی  $\text{Mn}-\text{Mg}-\text{Fe}^{2+}$ .

نظر گارنت سنگ‌های فوئیددار کلیپر با سنگ‌های آتشفشنانی آنالسیم‌دار کروزنسنست (Crowsnest) در آلبرتا کانادا [۷] قابل مقایسه هستند.

#### برداشت

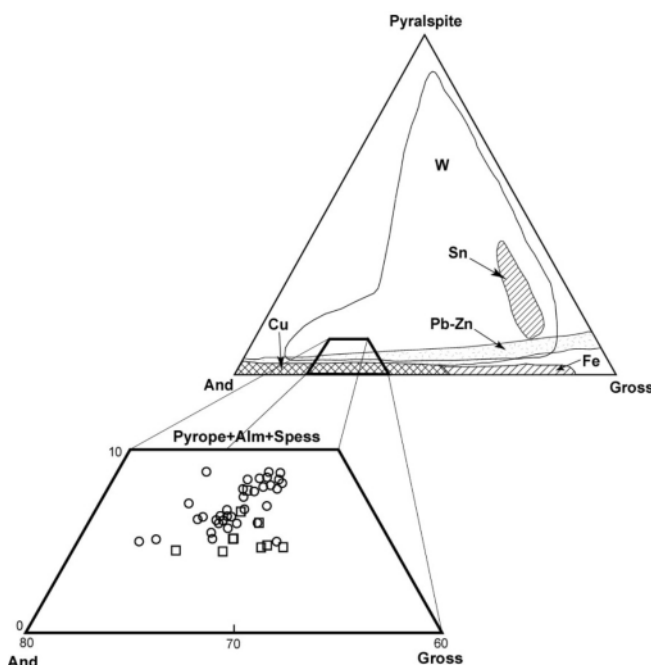
بر اساس شیمی کانی، گارناتهای توده آذرین کلیپر در حد  $\text{Ti}-\text{Ti}$ -آندرادیت و ملانیت بوده و اعصاری نهایی آن‌ها به ترتیب فراوانی درصد مولی آن‌ها شامل آندرادیت، گروسولار، آلماندین، اسپسارتین، پیروپ و اواروویت است. در گارناتهای مورد بررسی از بین جانشینی‌های عنصری  $\text{Al}-\text{Fe}$ ,  $\text{Ti}-\text{Si}$  و  $\text{Ti}-\text{Fe}$   $\text{Ti}-\text{Si}$  جانشینی اخیر مهمترین بوده که در آن به نظر می‌رسد  $\text{Ti}$  اساساً در نمای چهار وجهی، بجای  $\text{Si}$  وارد شده است. گارنت‌های منطقه‌بندی شده کلیپر معمولاً با زون حاشیه‌ای تهی شده از  $\text{Ti}$  و غنی شده از آندرادیت مشخص می‌شوند. با توجه به ویژگی‌های کانی‌شناسی، بافتی و شیمیابی به نظر می‌رسد گارناتهای کلیپر از تبلور ماغما حاصل شده و در آخرین مراحل تبلور تشکیل شده‌اند.

#### قدردانی

این مقاله برداشتی است از نتایج طرح پژوهشی رساله دکترای نویسنده اول که از سوی معاونت پژوهشی و تحصیلات تکمیلی دانشگاه تبریز حمایت مالی شده است؛ لذا نویسنده‌گان بدینوسیله نهایت سپاس و قدردانی خود را از معاونت‌های مذکور ابراز می‌دارند. همچنین نویسنده‌گان از داوران محترم مجله، بخاطر نظرها و پیشنهادهای سازنده‌شان، سپاس گزارند.

تبلور گارنت غنی از  $\text{Ti}$  به نظر می‌رسد که در ماقماهای نسبتاً بی‌آب و غنی از  $\text{Ti}$  نسبت به کانی‌هایی چون آمفیبیول یا بیوتیت مساعد باشد [۳]؛ این ویژگی‌ها معمولاً در ماقماهای اشباع شده از سیلیس و قلیایی بهتر قابل حصول‌اند؛ اینکه چرا بین سه توده فوئید سینیتی بزقوش، رزگاه و کلیپر تنها مورد اخیر دارای گارناتهای غنی از  $\text{Ti}$  است شاید با پارازنرهای کانیابی قابل توضیح باشد. بین کانی‌های مافیک، کانی‌های تیتانیت و هورنبلند از فراوانی نسبی قابل ملاحظه‌ای در توده فوئید سینیتی کلیپر برخلاف توده‌های فوئید سینیتی رزگاه و بزقوش برخوردارند؛ این در حالی است که کانی‌های مافیکی چون کلینوبیروکسن، بیوتیت و الیوین در توده‌های اخیر از فراوانی نسبی قابل توجهی برخوردارند. احتمالاً غنی از  $\text{Ti}$  بودن ماقماهای سازنده فوئید سینیت کلیپر، که با تبلور مقادیر بالای تیتانیت در آن مشخص می‌شود، نقش مهمی را در تشکیل گارناتهای غنی از  $\text{Ti}$  توده کلیپر داشته است. مقدار تیتانیت در این توده‌گاه تا ۳ درصد حجمی سنگ نیز می‌رسد ( $\text{B}_{27}$ ,  $\text{B}_{62}$ ,  $\text{D}_{59}$ ). با این وجود، فراهم شدن شرایط تبلور چنین گارناتهایی به در دسترس بودن سازنده‌هایی چون  $\text{Ca}$  بستگی دارد.

فعالیت خیلی بالای  $\text{SiO}_2$  در طول تشکیل گرمایی گارنت‌های مجموعه‌های اسکارنی [۱۶] منجر به مقادیر خیلی پایین  $\text{TiO}_2$  این گارنتهاست. مقایسه ترکیب گارناتهای یاد شده با گارناتهای سنگ‌هایی که به نظر می‌رسد فعالیت  $\text{SiO}_2$  در طول تشکیل آن‌ها بالا نبوده است نشان از شباهت گارناتهای اخیر به گارنت اسکارن‌های آهن، سرب‌روی و مس‌دار و عدم شباهت آن‌ها به انواع اسکارن‌های قلع‌دار است (شکل ۹). از این



شکل ۹ ترکیب گارناتهای مورد بررسی در نمودار (Pyrope + Alm + Spess) – And - Gross برای مقایسه با گارناتهای اسکارنی [۱۵].

#### مراجع

- stoichiometric criteria*", Mineralogical Magazine 51 (1987) 431–437.
- [7] Dingwell D.B., Brearley M., "Mineral chemistry of igneous melanite garnets from analcrite-bearing volcanic rocks, Alberta, Canada", Contribution to Mineralogy and Petrology 90 (1985) 29-35.
- [8] Howie R.A., Woolley A.R., "The role of titanium and the effect of  $TiO_2$  on the cell-size, refractive index and specific gravity in the andradite-melanite-schorlomite series", Mineralogical Magazine 36 (1968) 775-790.
- [9] Gomes C.B., "Electron microprobe analysis of zoned melanites", American Mineralogist 54 (1969) 1654-1661.
- [10] Pearce T.H., "The analcrite-bearing volcanic rocks of the Crowsnest Formation, Alberta", Canadian Journal of Earth Science 7 (1970) 46-66.
- [11] Huggins F.E., Virgo D., Huckenholz H.G., "Titanium-containing silicate garnets. I. The distribution of Al,  $Fe^{3+}$ , and  $Ti^{4+}$  between octahedral and tetrahedral sites", American Mineralogist 62 (1977a) 475-490.
- [12] Huggins F.E., Virgo D., Huckenholz H.G., "Titanium-containing silicate garnets. II. The

- [1] Deer W.A., Howie R.A., Zussman J., "An Introduction to the Rock Forming Minerals", Second Longman Editions. Longman, London (1992) p. 696.
- [2] Dahlquist J.A., Galindo C., Pankhurst R.J., Rapela C.W., Alasino P.H., Saavedra J., Fanning C.M., "Magmatic evolution of the Peñón Rosado granite: Petrogenesis of garnet-bearing granitoids", Lithos 95 (2007) 177–207.
- [3] Gwalani L.G., Rock N.M.S., Ramasamy R., Griffin B.J., Mulai B.P., "Complexly zoned Ti-rich melanite-schorlomite garnets from Ambadungar carbonatite-alkalic complex, Deccan Igneous Province, Gujarat State, Western India", Journal of Asian Earth Sciences 18 (2000) 163-176.
- [4] Laverne C., "Unusual occurrence of aegirine-augite, fassaite and melanite in oceanic basalts (DSDP Hole 504B)", Lithos 20 (1987) 135-151.
- [۵] باباخانی ع، امینی آذر ر، "گزارش عملیات اکتشافی بر روی توده نفلین سینیتی کلیبر به عنوان ماده اولیه تولید آلومینا، شیشه، سرامیک و سنگ‌های تزئینی و نما"، سازمان زمین‌شناسی کشور، شرکت توسعه علوم زمین (۱۳۶۷)، ۷۵ صفحه.
- [6] Droop G.T.R., "A general equation for estimating  $Fe^{3+}$  in ferromagnesian silicates and oxides from microprobe analyses, using

- an example from the Old Woman Piute Range, California”, Journal of Geology 89 (1981) 233–246.*
- [16] Einaudi M.T., Burt D.M., “*Introduction terminology, classification and composition of skarn deposits*”, Economic Geology 77 (1982) 745-754.
- [17] Kretz R., “*Symbols for rock-forming minerals*”, American Mineralogist 68 (1983) 277–279.
- crystal chemistry of melanites and schorlomites”, American Mineralogist 62 (1977 b) 646-665.*
- [13] Isaacs T., “*Titanium substituted in andradites*”, Chemical Geology 3 (1968) 219-222.
- [14] Schwartz K.B., Nolet D.A., Burns R.G., “*Mossbauer spectroscopy and crystal chemistry of natural Ti- Fe garnets*”, American Mineralogist 65 (1980) 142-153.
- [15] Miller C.F., Stoddard E.F., “*The role of manganese in the paragenesis of magmatic garnet:*